

# 南京航空航天大学

第1页 (共7页)

二〇二〇~二〇二一学年 第二学期《大学物理》I(I)

## 期末考试试题

考试日期：2021年7月9日

试卷类型：B

试卷代号: 05006

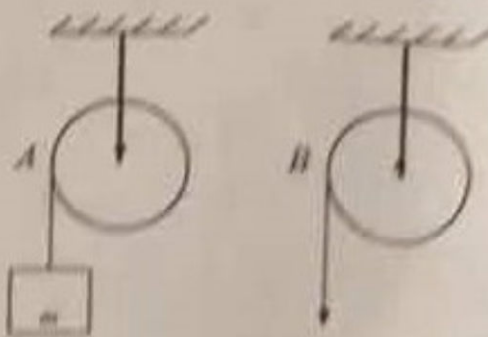
姓名	学号	班号
		一
	三	二
得分		四
本题分数		总分
30		
得 分		

本资源免费共享收集网站: [www.store](http://www.store)

### 一、选择题 (每小题3分, 请将选项填入下表中)

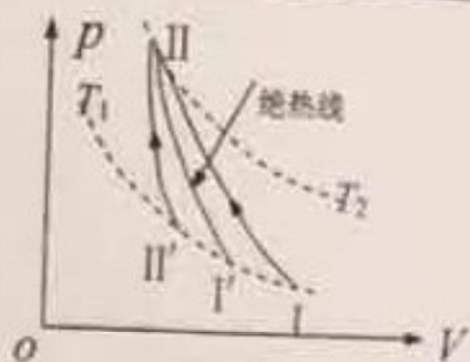
1	2	3	4	5	6	7	8	9	10

1. 一质量为 $60\text{kg}$ 的人站在一质量为 $60\text{kg}$ 、半径为 $1\text{m}$ 的均匀圆盘的边缘, 圆盘可绕与盘面相垂直的中心竖直轴无摩擦地转动, 系统原来是静止的。后来人沿圆盘边缘走动, 当他相对圆盘的走动速度为 $4\text{m/s}$ 时, 圆盘角速度为  
(A)  $1\text{rad/s}$ ; (B)  $2\text{rad/s}$ ;  
(C)  $8/3\text{rad/s}$ ; (D)  $4/3\text{rad/s}$ .
2. 如图所示,  $A$ 、 $B$ 为两个相同的定滑轮,  $A$ 滑轮挂一质量为 $m$ 的物体,  $B$ 滑轮受拉力 $F$ , 而且 $F = mg$ 。不计滑轮的摩擦, 这两个滑轮的角加速度的大小比较是  
(A)  $\alpha_A = \alpha_B$ ; (B)  $\alpha_A > \alpha_B$ ;  
(C)  $\alpha_A < \alpha_B$ ; (D) 无法比较。



3. 一理想气体，经如图所示的各过程，则

- (A) I → II 与 II' → II 内能改变不同；
- (B) I → II 与 II' → II 吸收热量相同；
- (C) I → II 与 II' → II 做功相同；
- (D) I → II 为吸热过程；
- (E) II' → II 为吸热过程。

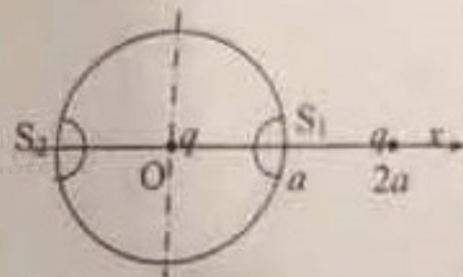


4. 下面叙述哪个是正确的？

- (A) 热量不能从低温物体向高温物体传递；
- (B) 绝热过程系统对外作正功，则系统的内能必增大；
- (C) 热传递的不可逆性与热功转变的不可逆性是等价的；
- (D) 功可以全部变为热，而热不能全部变为功。

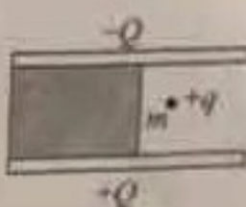
5. 有两个点电荷电量都是 $+q$ ，相距为 $2a$ 。今以左边的点电荷所在处为球心，以 $a$ 为半径作一球形高斯面。在球面上取两块相等的小面积 $S_1$ 和 $S_2$ ，其位置如图所示。设通过 $S_1$ 和 $S_2$ 的电场强度通量分别为 $\phi_1$ 和 $\phi_2$ ，通过整个球面的电场强度通量为 $\phi$ ，则

- |   |  |
|---|--|
| (A) $\phi_1 > \phi_2$ , $\phi = q/\epsilon_0$ ; | (B) $\phi_1 < \phi_2$ , $\phi = 2q/\epsilon_0$ ; |
| (C) $\phi_1 = \phi_2$ , $\phi = q/\epsilon_0$ ; | (D) $\phi_1 < \phi_2$ , $\phi = q/\epsilon_0$ .  |

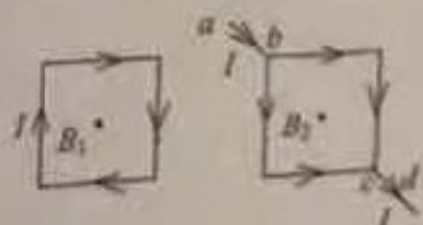


6. 一个大平行板电容器水平放置，两极板间的一半空间充有各向同性均匀电介质，另一半为空气，如图。当两极板带上恒定的等量异号电荷时，有一个质量为 $m$ 、带电荷为 $+q$ 的质点，在极板间的空气区域中处于平衡。此后，若把电介质抽去，则该质点

- (A) 保持不动。 (B) 向上运动。
- (C) 向下运动。 (D) 是否运动不能确定。



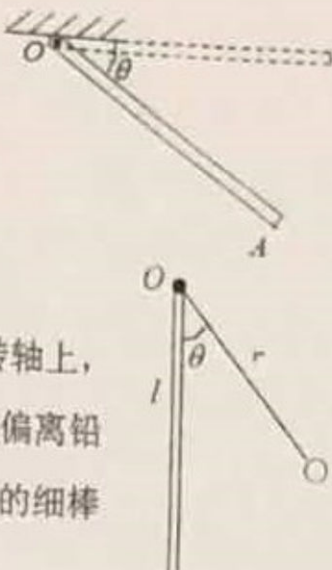
7. 边长为 $l$ 的正方形线圈，分别用图示两种方式通以电流 $I$ （其中 $ab$ 、 $cd$ 与对角线 $bc$ 共线），在这两种情况下，线圈在其中心产生的磁感强度的大小分别为



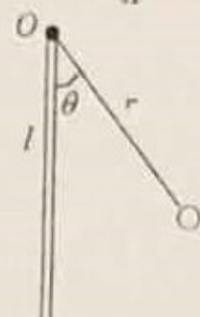
本题分数	42
得分	

## 二 填空题 (每空 3 分)

11. 一长为  $l$  质量为  $m$  的均匀细棒，其一端有一固定的光滑水平轴，因而可在竖直平面内转动。最初棒静止在水平位置，则它由此下摆  $\theta$  角时端点  $A$  的切向加速度  $a_t = \underline{\hspace{10mm}}$ 。

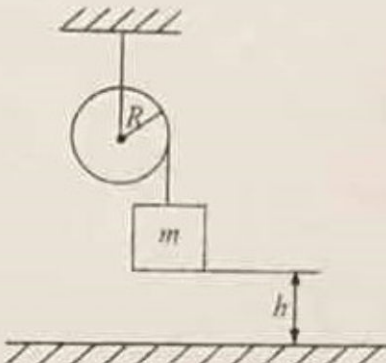


12. 长为  $l$  质量为  $m$  的均匀细棒，一端悬挂在过  $O$  点的无摩擦的水平转轴上，在此转轴上另有一长为  $r$  的轻绳悬挂一小球，质量为  $m/2$ ，当小球悬线偏离铅直方向某一角度  $\theta$  时由静止释放(如图示)，小球在悬挂点正下方与静止的细棒发生弹性碰撞，且碰后小球刚好静止，则  $r = \underline{\hspace{10mm}}$ 。



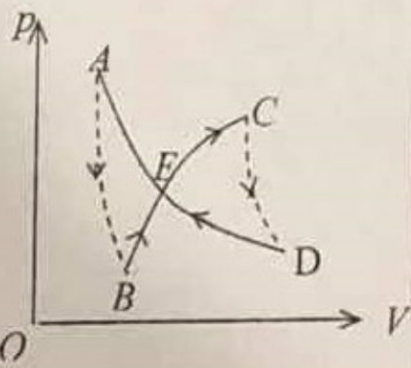
13. 如图所示的装置可测轮子的转动惯量  $J$ ，若  $m$  由静止开始下降， $t$  秒后下降的距离为  $h$ ，则  $J = \underline{\hspace{10mm}}$ 。

本资源免费共享 收集网站 muaastore



14. 一定量理想气体，从同一状态开始把其体积由  $V_0$  压缩到  $\frac{1}{2}V_0$ ，分别经历以下三种过程：(1) 等压过程；(2) 等温过程；(3) 绝热过程。其中：\_\_\_\_\_ 过程外界对系统做功最多。

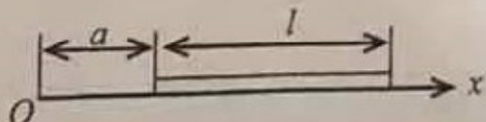
15. 如图所示，绝热过程  $AB$ 、 $CD$ ，等温过程  $DEA$ ，和任意过程  $BEC$ ，组成一循环过程。若图中  $ECD$  所包围的面积为  $70J$ ， $EAB$  所包围的面积为  $30J$ ， $BEC$  过程中系统从外界吸热为  $140J$ 。则：  
 $DEA$  过程中系统放热 \_\_\_\_\_。



16. 如果理想气体的状态依照  $V = \frac{a}{\sqrt{P}}$  的规律变化，则气体从  $V_1$  膨胀到  $V_2$  所做的功 \_\_\_\_\_。

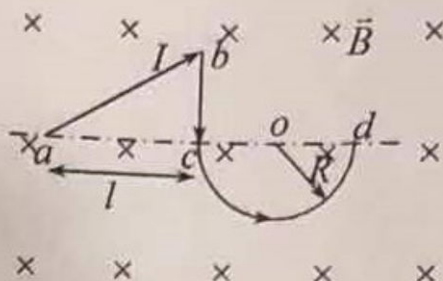
膨胀到  $V_2$  所做的功 \_\_\_\_\_。

17. 图中所示为一沿  $x$  轴放置的长度为  $l$  的不均匀带电细棒，其电荷线密度为  $\lambda = \lambda_0(x-a)$ ， $\lambda_0$  为一常量。取无穷远处为电势零点，则坐标原点  $O$  处的电势 \_\_\_\_\_。



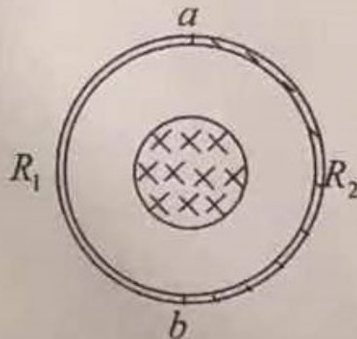
18. 两点电荷  $q_1 = 1.5 \times 10^{-8} \text{ C}$ ,  $q_2 = 3 \times 10^{-8} \text{ C}$ , 相距  $r_1 = 42 \text{ cm}$ , 要把它们之间的距离变为  $r_2 = 25 \text{ cm}$ , 外力需作多少功 [ $\frac{1}{4\pi\epsilon_0} = 9 \times 10^9 \text{ N} \cdot \text{m}^2/\text{C}^2$ ]

19. 形状如图所示的导线  $abcd$ , 通有电流  $I$ , 放在与匀强磁场垂直的平面内, 其中  $a$ 、 $c$ 、 $d$  在同一条直线上, 且  $a$ 、 $c$  的间距为  $l$ ,  $cd$  是半径为  $R$  的半圆导线的直径。若磁感应强度大小为  $B$ , 则导线  $abcd$  所受的安培力  $F =$  \_\_\_\_\_。



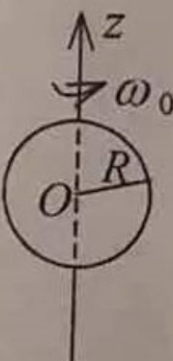
20. 一空气平行板电容器, 两板相距为  $d$ , 与一电池连接时两板之间静电作用力的大小为  $F$ , 断开电池后, 将两板距离拉开到  $2d$ , 忽略边缘效应, 则两板之间的静电作用力的大小是 \_\_\_\_\_.

21. 如图, 长直螺线管产生的磁场  $\bar{B}$  随时间均匀增强,  $\bar{B}$  的方向垂直于纸面向里。在管外共轴地套上一个导体圆环 (环面垂直于  $\bar{B}$ ), 但它由两段不同金属材料的半圆环组成, 电阻分别为  $R_1$ 、 $R_2$ , 且  $R_1 > R_2$ , 接点处为  $a$ 、 $b$  两点, 比较这两点电势大小  $U_a > U_b$ 、或  $U_a < U_b$ 、或  $U_a = U_b$ )



22. 磁感应强度为  $B$  的均匀磁场中放一均匀带正电荷的圆环, 半径为  $R$ , 电荷线密度为  $\lambda$ , 圆环可绕与环面垂直的转轴旋转, 转轴与磁场垂直, 当圆环以角速度  $\omega$  转动时, 圆环受到的磁力矩大小为 \_\_\_\_\_。

23. 如图所示, 电荷  $q (>0)$  均匀地分布在一个半径为  $R$  的薄球壳外表面上, 若球壳以恒角速度  $\omega_0$  绕  $z$  轴逆时针方向转动, 则沿着  $z$  轴从  $-\infty$  到  $+\infty$  磁感应强度的线积分等于 \_\_\_\_\_。



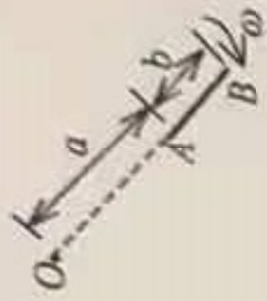
24. 真空中一根无限长直细导线上通有电流强度为  $I$  的电流, 则距导线垂直距离为  $a$  的空间某点处的磁能密度为 \_\_\_\_\_.

本题分数	28
得分	

### 三 计算题 收集题库 本资源免费共享 网站 [nuaa.store](http://nuaa.store)

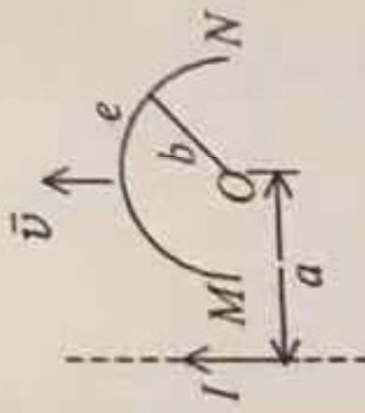
25. (本题 12 分) 半径为  $R$  的带电球体, 其电荷体密度分布为  $\rho = Kr^2$ ,  $r$  为球心到球内一点的矢径的大小,  $K$  为常量. 求: (1) 带电球体内、外的场强分布; (2) 带电球体内的电场能量.

26. (本题6分) 如图所示, 均匀带电刚性细杆AB长为 $b$ , 线电荷密度为 $\lambda (> 0)$ , 绕垂直于直线的轴O以 $\omega$ 角速度匀速转动。(O点在细杆AB延长线上, 离A点距离为a) 求: O点的磁感应强度 $\bar{B}_0$ .



本资源免费共享 收集网站 [nuaa.store](http://nuaa.store)

27. (本题10分) 截有电流为I的长直导线附近, 放一导体半圆环MeN, 与长直导线共面, 且端点M、N的连线与长直导线垂直。半圆环的半径为b, 环心O与长直导线相距为a, 设半圆环以速度 $\bar{v}$ 平行导线平移, 求: 半圆环内感应电动势的大小、方向以及MN两端的电势差。



$$11. g \cos \vartheta$$

12.

$$13. \frac{m g R^2 t^2}{2 h} - m R^2$$

$$14. (1)$$

$$15. 100$$

$$16. a^2 \left( \frac{1}{V_1} - \frac{1}{V_2} \right)$$

$$17. \frac{\lambda_0}{4\pi\epsilon_0} \left( l - \alpha \ln \frac{a+l}{a} \right)$$

$$18. - 6.56 \times 10^{-6} \text{ J}$$

$$19. BI(l+2R)$$

$$20. F.$$

$$21. U_a > U_b$$

$$22. \frac{1}{2} \mu_0 \pi R^2 B \lambda \omega$$

本资源免费共享 收集网站 nuaa.store

$$23. \frac{\mu_0 I w_0}{2\pi}$$

$$24. \frac{1}{2\mu_0} \left( \frac{\mu_0 I}{2\pi a} \right)^2$$

$$25.(1) \oint_S \vec{E} \cdot d\vec{s} = \frac{\Sigma q}{\epsilon_0}$$

$$\textcircled{1} r < R, \Sigma q = \int_0^r kr^2 \cdot 4\pi r^2 dr$$

$$= \frac{4\pi}{5} kr^5$$

$$\vec{E} \cdot 4\pi r^2 = \frac{4\pi kr^5}{5\epsilon_0} \Rightarrow$$

$$\vec{E} = \frac{kr^3}{5\epsilon_0} \hat{e}_r$$

$$\textcircled{2} r > R, \Sigma q = \frac{4\pi k R^5}{5\epsilon_0}$$

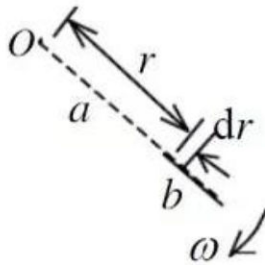
$$\vec{E} = \frac{kR^5}{5\epsilon_0 r^2} \hat{e}_r$$

$$(2) w_e = \frac{1}{2} \epsilon_0 E^2 = \frac{k^2 r^6}{10 \epsilon_0}$$

$$W = \int_0^R \frac{k^2 r^6}{10 \epsilon_0} 4\pi r^2 \cdot dr$$

$$= \frac{2\pi k^2}{5\epsilon_0} \int_0^R r^8 dr$$

$$= \frac{2\pi k^2}{45\epsilon_0} R^9$$



(1) 对  $r \rightarrow r + dr$  段, 电荷  $dq = \lambda dr$  旋转形成圆电流, 且

$$dI = dq \frac{\omega}{2\pi} = \frac{\lambda \omega \mu_0}{2\pi} dr$$

它在  $O$  点的磁感强度

$$dB_0 = \frac{\mu_0 dI}{2r} = \frac{\lambda \omega \mu_0}{4\pi} \frac{dr}{r}$$

$$B_0 = \int dB_0 = \frac{\lambda \omega \mu_0}{4\pi} \int_a^{a+b} \frac{dr}{r} = \frac{\lambda \omega \mu_0}{4\pi} \ln \frac{a+b}{a}$$

方向垂直纸面向内.

本资源免费共享 收集网站 [nuaa.store](http://nuaa.store)

作辅助线  $MN$ , 则在  $MeNM$  回路中, 沿  $\vec{v}$  方向运动时  $d\Phi_m = 0$

$$\therefore \mathcal{E}_{MeNM} = 0$$

即

$$\mathcal{E}_{MeN} = \mathcal{E}_{MN}$$

$$\text{又: } \mathcal{E}_{MN} = \int_{a-b}^{a+b} vB \cos \pi d \quad I = \frac{\mu_0 Iv}{2\pi} \ln \frac{a-b}{a+b} < 0$$

所以  $\mathcal{E}_{MeN}$  沿  $NeM$  方向,

大小为

$$\frac{\mu_0 Iv}{2\pi} \ln \frac{a+b}{a-b}$$

$M$  点电势高于  $N$  点电势, 即

计算27

$$U_M - U_N = \frac{\mu_0 Iv}{2\pi} \ln \frac{a+b}{a-b}$$